



Modeling and Fabrication of a Robot for Sowing in a Seedling Tray (Case Study: Sugar Beet)

S. Abdanan Mehdizadeh^{1*}

1- Mechanics of Biosystems Engineering Department, Faculty of Agricultural Engineering and Rural Development, Agricultural Sciences and Natural Resources University of Khuzestan, Ahvaz, Iran

(* - Corresponding Author Email: s.abdanan@asnrkh.ac.ir)

<https://doi.org/10.22067/jam.2022.74055.1080>

Received: 07 December 2021

Revised: 13 January 2022

Accepted: 18 January 2022

Available Online: 18 January 2022

How to cite this article:

Abdanan Mehdizadeh, S. (2023). Modeling and Fabrication of a Robot for Sowing in a Seedling Tray (Case Study: Sugar Beet). *Journal of Agricultural Machinery*, 13(3), 249-266. (in Persian with English abstract). <https://doi.org/10.22067/jam.2022.74055.1080>

Introduction

Adopting new technologies for crop growth has the characteristics of improving disaster resistance and stress tolerance, ensuring stable yields, and improving product quality. Currently, the cultivation of seed trays relies on huge labor power, and further mechanization is needed to increase production. However, there are some problems in this operation, such as the difficulty of improving the speed of a single machine, seedling deficiency detection, automatic planting, and controlling the quality, which need to be solved urgently. To solve these problems, there are already some meaningful attempts. Si *et al.* (2012) applied a photoelectric sensor to a vegetable transplanter, which can measure the distance between seedlings and the movement speed of seedlings in a seedling guide tube, to prevent omission transplantation. Yang *et al.* (2018) designed a seedling separation device with reciprocating movement of the seedling cup for rice transplanting. Tests show that the structure of the mechanical parts of the seedling separation device meets the requirements of seed movement. The optimization of the control system can improve the positioning accuracy according to requirements and achieve the purpose of automatic seedling division. Chen *et al.* (2020) designed and tested of soft-pot-tray automatic embedding system for a light-economical pot seedling nursery machine. The experimental results showed that the embedded-hard-tray automatic lowering mechanism was reliable and stable as the tray placement success rate was greater than 99%. The successful tray embedding rate was 100% and the seed exposure rate was less than 1% with a linear velocity of the conveyor belt of 0.92 m s^{-1} . The experiment findings agreed well with the analytical results.

Despite the sharp decline in Iran's water resources and growing population, the need to produce food and agricultural products is greater than ever. In the past, most seeds were planted directly into the soil, and many water resources, especially groundwater, were used for direct seed sowing and plant germination. One way to reduce the consumption of water, fertilizers, and pesticides is to plant seedlings instead of direct seed sowing. Therefore, the purpose of this study was dynamic modeling and fabrication of seed planting systems in seedling trays.

Material and Methods

In this experiment, Flores sugar beet seeds (Maribo company, Denmark) were used. The seedling trays had dimensions of $29.5 \times 60 \text{ cm}$ with openings and holes of 5.5 and 4 cm, respectively. To plant seeds in seedling trays, first, a planter arm was modeled and its position was obtained at any time. Then, based on dynamic modeling, the arm was constructed and a capacitive proximity sensor (CR30-15AC, China) and IR infrared proximity sensor (E18-D80NK, China) were used to find the location of seedling trays on the input conveyor and position of discharging arm, respectively. To achieve a stable and effective control system, a micro-controller-based circuit was developed to signal the planting system. The seed planting operation was performed in the seedling tray according to the coordinates which were provided through the image processing method. The planting system was evaluated at two levels of forward speed (5 and 10 cm s^{-1}). Moreover, a smartphone program was implemented to monitor the operation of the planting system.

Results and Discussion

The planting system was assessed for sugar beet seeds using two levels of forward speed (5 and 10 cm s^{-1}). The nominal capacity of this planter ranged from 3579 to 4613 cells per hour, with a miss and multiple implantation indices of 0.03% and 8.17%, respectively, in 3000 cells. Due to its planting accuracy, speed, and low energy consumption (25.56 watt-hours), this system has the potential to replace manual seeding in seedling trays.

Conclusion

In the present study, a seed-sowing system for planting seedling trays was designed, constructed, and evaluated based on dynamic modeling. In the developed system, unlike previous research, planting location detection was conducted through image processing. Additionally, a smartphone program was established to monitor the operation of the planting system without interfering with its performance. This study demonstrates that image processing can successfully detect planting locations and can effectively improve efficiency over time for major producers.

Keywords: Image processing, Modeling, Planter system, Seedling tray

مقاله پژوهشی

جلد ۱۳، شماره ۳، پاییز ۱۴۰۲، ص ۲۶۶-۲۴۹

مدل‌سازی و ساخت ربات کارنده بذر در سینی نشاء (مطالعه موردی: چغندر قند)

سامان آبدانان مهدی زاده^{۱*}

تاریخ دریافت: ۱۴۰۰/۰۹/۱۶

تاریخ پذیرش: ۱۴۰۰/۱۰/۲۸

چکیده

با وجود کاهش شدید منابع آبی ایران و رشد روزافزون جمعیت، نیاز به تولید غذا و محصولات کشاورزی بیش از گذشته است. در گذشته، اغلب کاشت گیاهان به صورت کشت مستقیم بذر صورت می‌پذیرفت و منابع آبی بسیار خصوصاً آب‌های زیرزمینی برای کشت مستقیم بذر و جوانه‌زنی گیاه مصرف می‌شد. از جمله روش‌های کاهش مصرف آب، کود و سموم کشت نشایی به جای کشت مستقیم بذر است. لذا هدف از پژوهش حاضر مدل‌سازی دینامیکی و ساخت سامانه کاشت بذر در سینی نشاء در نظر گرفته شد. بدین منظور ابتدا یک بازوی کارنده مدل‌سازی و موقعیت کارنده در هر لحظه به دست آمد. سپس براساس مدل‌سازی دینامیکی بازو ساخته و عملیات کشت بذر در سینی نشاء صورت پذیرفت. ارزیابی سامانه کاشت دو سطح سرعت پیشروی ۵ و ۱۰ سانتی‌متر بر ثانیه برای بذر چغندر قند انجام گرفت که ظرفیت نامی این بذرکار بین ۳۵۷۹ تا ۴۶۱۳ سلول در ساعت بود. در ضمن شاخص‌های نکاشت و چندانگانه کاشت در ۳۰۰۰ سلول نیز به ترتیب ۰/۰۳ و ۸/۱۷ درصد به دست آمد. با توجه به دقت کاشت، سرعت عملکرد کارنده و همچنین مصرف اندک انرژی (۲۵/۵۶ وات‌ساعت) این سامانه توانایی جایگزینی بذرکاری دستی در سینی نشاء را دارد.

واژه‌های کلیدی: پردازش تصویر، چغندر قند، سامانه کارنده، سینی نشاء، مدل‌سازی

مقدمه

بین کشورهای جهان، حدود ۸۷ هزار هکتار سطح زیرکشت و با عملکرد حدود ۵۹ تن در هکتار است (FAO, 2018). در مناطق دارای محدودیت طول دوره رشد و دارای منابع آب و خاک به نسبت شور با اطمینان ۹۹ درصد کشت نشائی بهتر از کشت مستقیم بذر است؛ لذا چغندر قند نیز از این قاعده مستثنی نمی‌باشد (Keyvanlo & Armin, 2017). در پژوهشی کشت گلدانی چغندر قند با کشت مستقیم آن از نظر عملکرد ریشه و شکر تولیدی با یکدیگر مقایسه گردیدند. در کشت مستقیم درصد قند ۱۸/۷۹ به دست آمد در حالی که میزان قند تولیدی در کشت گلدانی ۱۷/۳۲ درصد بود. اگرچه در کشت گلدانی درصد قند تولیدی کمتر بود اما بالاتر بودن عملکرد ریشه در این روش سبب افزایش عملکرد شکر تولیدی شد (Nasri, Kashani, & Sadeghian Motahar, & Habibi, 2011).

با توسعه اتوماسیون در سامانه‌های کشاورزی، سطح اقتصادی کشاورزی نیز به تدریج افزایش یافته است. عملکرد اقتصادی مناسب در محصولات زراعی و گلخانه‌ای تابع رشد رویشی مناسب در اوایل فصل رشد و توزیع و تخصیص مناسب مواد فتوسنتزی به ریشه است. در نتیجه کشت به موقع گیاهان از اهمیت به‌سزایی برخوردار است. تسریع در رشد گیاه را می‌توان در شرایط کنترل شده به کمک کشت

چغندر قند با نام علمی (*Beta vulgaris L.*) یکی از محصولات زراعی و استراتژیک صنعتی است که سهم عمده‌ای از تولید شکر در جهان را دارد. نیاز روزافزون کشور به تولید شکر و تأمین حدود ۷۰ درصد تولید داخلی شکر از چغندر قند، اهمیت اقتصادی این محصول را به خوبی نشان می‌دهد. این محصول به طور مستقیم (از طریق تولید قند و شکر) و به صورت غیرمستقیم (از طریق تأمین خوراک دام) بخشی از نیازهای کشور را برآورده می‌سازد. طول دوره رشد برای تولید قند ۶ تا ۹ ماه می‌باشد (Biancardi et al., 2010). افزون بر این از ملاس که از فرآورده‌های فرعی چغندر قند به‌شمار می‌آید در صنعت الکل‌سازی و داروسازی استفاده می‌شود. براساس آمار رسمی فائو^۲ سطح زیرکشت چغندر قند در جهان حدود ۵/۰۳ میلیون هکتار با عملکرد متوسط حدود ۴۸/۶ تن در هکتار می‌باشد که سهم ایران در

۱- گروه مکانیک بیوسیستم، دانشکده مهندسی زراعی و عمران روستایی، دانشگاه علوم کشاورزی و منابع طبیعی خوزستان، اهواز، ایران
(*) نویسنده مسئول: (Email: s.abdanan@asnrkh.ac.ir)

نشاء طراحی و ساخته شد. بر اساس نتایج، دقت کاشت تک بذر دستگاه کارنده برای بذرهای گوجه و فلفل دلمه‌ای ۹۰ درصد به‌دست آمد. به‌علاوه مطابق با اندازه سینی مورد استفاده، ظرفیت معادل دستگاه ۳۸۰۰۰ تا ۶۰۰۰۰ سلول در ساعت بود (Gaikwad & Sirohi, 2008). در پژوهشی دیگر مطالعه اولیه به‌منظور طراحی و ساخت یک ربات بذرکار دقیق برای کاشت بذر گوجه‌فرنگی در سینی‌های کاشت انجام پذیرفت. این بذرکار در فشار مکش ۳/۸۹ و ۳/۴۲ بار و قطر سوراخ‌های ۰/۴۷ و ۰/۴۹ میلی‌متر مورد ارزیابی قرار گرفت و بسته به اندازه سینی‌ها، ظرفیت نامی این بذرکار بین ۱۷۰۰۰ تا ۳۵۰۰۰ سلول در ساعت گزارش گردید (Gezavati et al., 2014). در پژوهشی به طراحی و ساخت سامانه‌ای براساس میکروکنترلر AVR برای کاشت بذر در سینی- نشاء- نرم^۲ پرداختند. در سامانه توسعه‌یافته، سینی‌های نشاء به کمک موتور DC به محل کاشت منتقل می‌شدند و فرآیند کاشت به‌صورت خودکار انجام می‌گردید. مطابق با نتایج، قابلیت اعتماد سامانه -بیشتر از ۹۹ درصد (در سرعت حرکت ۰/۹۲ متر بر ثانیه) گزارش شد (Chen et al., 2020).

انرژی ورودی و هزینه کارگری تولید و کاشت نشاء نسبت به کشت مستقیم بیشتر بوده و این در صورتی است که حذف کار کارگری در هر بخش می‌تواند صرفه اقتصادی این نوع کشت را به‌صورت چشمگیری افزایش دهد. لذا هدف از این پژوهش، مدل‌سازی و طراحی بازوی کاشت بذر در سینی نشاء در نظر گرفته شد. بدین منظور ابتدا مدل ریاضی بازو در ابعاد مختلف و سرعت‌های حرکتی مختلف سینی نشاء به‌دست آمد؛ سپس بر اساس مدل‌سازی صورت گرفته، عملیات کاشت در سینی نشاء با کمک پردازش تصاویر دیجیتال انجام پذیرفت.

مواد و روش‌ها

تهیه نمونه و سینی کشت

در این آزمایش از بذر چغندر قند فلورس (شرکت Maribo، کشور دانمارک) استفاده شد. سینی‌های کشت مورد استفاده از مواد تجدیدپذیر و دارای ابعاد ۲۹/۵×۶۰ سانتی‌متر و دارای ابعاد دهانه و حفره به‌ترتیب ۵/۵ و ۴ سانتی‌متر بود.

مدل‌سازی ریاضی سامانه کارنده

مکانیزم بازو کارنده بذر به‌صورت شماتیک در شکل ۱ آمده است. در این شکل AB محور لنگ، BCF میله کارنده، DC و AD میله‌های رابط هستند. طول AB، DC، BCF، AD و زاویه بین آن‌ها و محور x به‌ترتیب L_1 ، L_2 ، L_3 ، L_4 ، θ_1 ، θ_2 ، θ_3 و α می‌باشد.

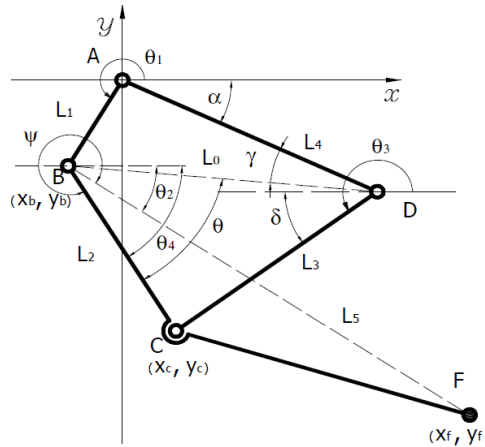
در خزانه و انتقال آن به زمین اصلی در زمان مناسب که خطر سرمای زمستانه و همچنین مشکل کمبود آب برطرف شده، میسر نمود (Cao, 2019). لذا بسیاری از صنایع با توجه به این نیاز روزافزون تولید دستگاه‌های کشت و همچنین کاهش زمان و نیاز نیروی کار، به‌طور پیوسته اقدام به تولید سامانه‌های خودکار تولید و کاشت نشاء نموده‌اند (Tian et al., 2017). تا به امروز پژوهش عمده‌ای در زمینه ساخت و تولید دستگاه‌های خودکار تولید نشاء صورت نگرفته و فرآیند تولید نشاء به‌صورت دستی در کشور انجام می‌شود. این در حالی است که شدت کار بالاتر و راندمان پایین این عمل به‌صورت دستی، تولید در مقیاس بزرگ را دشوار می‌نماید.

بر اساس گزارش‌های موجود، توسعه دستگاه‌های مکانیزه تولید نشاء در کشورهای آمریکا و ژاپن در دهه ۱۹۸۰ شروع گردید. دستگاه‌های توسعه‌یافته شامل دستگاه‌های تولید و کشت در سینی نشاء (Si et al., 2013; Rosli et al., 2016)، سامانه کشت نشاء در گلدان (Yang et al., 2018) و دستگاه‌های کشت نشاء در مزرعه (Wang et al., 2018) می‌باشند. از جمله پژوهش‌های صورت گرفته در زمینه کارنده‌ها می‌توان به بهینه‌سازی ساختار بخش کارنده نشاء که مهم‌ترین بخش دستگاه می‌باشد با روش بهینه‌سازی هدایت‌شده به‌وسیله تصحیح پارامترها^۱ برای ایجاد مدل اصلاح‌شده اشاره نمود. حاصل این کار پژوهشی، نرم‌افزاری با قابلیت مدل‌سازی انواع مختلف نشاکار و بهینه‌سازی آن‌ها با توجه به شرایط کاری مختلف دستگاه بود (Yun et al., 2011). در مطالعه‌ای، بازویی به‌منظور جمع‌آوری نشاء از سینی نشاء طراحی و ساخته شد. در این پژوهش، ابتدا مدل‌سازی دینامیکی بازوی گیرنده نشاء انجام و براساس نتایج این مدل‌سازی، بازوی گیرنده تولید گردید (Li et al., 2019). در پژوهشی دیگر از یک سامانه کنترلی بر پایه PLC به‌منظور نیمه‌خودکارسازی دستگاه کارنده نشاء استفاده گردید. سامانه توسعه‌یافته علاوه بر کنترل حرکت سینی نشاء و جداسازی نشاء‌ها به‌صورت خودکار از طریق ارسال سیگنال فرمان به شیربرقی و موتور کارنده، امکان کنترل از راه دور و به‌صورت بی‌سیم را دارا بود. براساس نتایج، موفقیت سامانه در کاشت در سرعت‌های متفاوت ۴۰، ۵۰ و ۶۰ گیاه در دقیقه به‌ترتیب ۹۸/۶، ۹۷/۲ و ۹۶/۵ درصد به‌دست آمد (Yang et al., 2020). تعیین دقت کاشت نشاء نیز از مسائل مهم می‌باشد. در پژوهشی از تکنولوژی پردازش تصویر و اطلاعات فازی به‌منظور تعیین سلامت نشاء استفاده گردید. براساس نتایج، دقت تشخیص نشاء در سرعت انتقال ۷۰ نشاء در دقیقه، ۹۷/۳۳ درصد به‌دست آمد (Jin et al., 2020).

تولید نشاء، کاری زمان‌بر، طاقت‌فرسا و با کار کارگری بسیار است. بر این اساس یک کارنده نئوماتیک برای کاشت بذر ریز در سینی

موتور نیاز دارد که در بخش بعدی به نحوه انتخاب آن پرداخته می شود.

به منظور تحلیل دینامیکی حرکت محور لنگ، جهت عقربه ساعت و سرعت دورانی w_1 در نظر گرفته شدند. این سامانه بر اساس معیار کورتز-باخ دارای دو درجه آزادی است؛ در نتیجه برای حرکت، به دو



شکل ۱- شماتیک مکانیزم بازو کارنده بذر

Fig.1. Schematic of seed planting arm mechanism

طرف دیگر اگر سرعت زاویه ای محور لنگ w_1 نسبت به رابط DC و AD مشخص باشد، سرعت زاویه ای و شتاب زاویه ای آن ها با استفاده از روش بردار مختلط به دست می آید. این مکانیزم محور لنگ و میل رابط DC را می توان به عنوان یک ABCD چند ضلعی بسته در نظر گرفت؛ در نتیجه در فضای مختلط رابطه (۷) میان ۴ بازو برقرار است (Wang & Feng, 2013):

$$l_1 e^{j\theta_1} + l_2 e^{j\theta_4} + l_3 e^{j\theta_3} + l_4 e^{j\alpha} = 0 \quad (7)$$

با بسط رابطه (۷) می توان آن را به صورت توابعی مطابق روابط (۸) و (۹) تعریف نمود (Li-zhang & Yao-ming, 2007).

$$g_1 = l_1 \cos(\theta_1) + l_2 \cos(\theta_4) + l_3 \cos(\theta_3) - l_4 \cos(\alpha) = 0 \quad (8)$$

$$g_2 = l_1 \sin(\theta_1) + l_2 \sin(\theta_4) + l_3 \sin(\theta_3) - l_4 \sin(\alpha) = 0 \quad (9)$$

دو رابطه بیان شده در بالا دو معادله غیرخطی برحسب θ_4 ، θ_3 می باشند. در این پژوهش به منظور حل این دو معادله از روش نیوتن-رافسون استفاده گردید (Chapra, 2012). به منظور انجام حل عددی حالت خاصی از روابط (۹) و (۱۰) که $\alpha = 0$ و $\theta_1 = \frac{2\pi}{3}$ را برای شرایط اولیه حرکت در نظر گرفته و روابط به صورت روابط (۱۰) و (۱۱) بازنویسی گردیدند:

$$\theta_3^{i+1} - \theta_3^i = \frac{g_1 \cos(\theta_4) + g_2 \sin(\theta_4)}{l_2 \sin(\theta_3 - \theta_4)} \quad (10)$$

$$\theta_4^{i+1} - \theta_4^i = \frac{g_1 \cos(\theta_3) + g_2 \sin(\theta_3)}{l_3 \sin(\theta_4 - \theta_3)} \quad (11)$$

به منظور انجام مدل سازی مکانیزم کارنده هر میله در محور x و y تصویر شدند (روابط ۱-۴).

$$\begin{cases} x_f = l_1 \cos(\theta_1) + l_3 \cos(\theta_2) \\ y_f = l_1 \sin(\theta_1) + l_3 \sin(\theta_2) \end{cases} \quad (1)$$

$$\theta_2 = \theta - \gamma + \alpha - \psi \quad (2)$$

$$\theta = \cos^{-1} \left(\frac{l_0^2 + l_2^2 - l_3^2}{2l_0 l_2} \right) \quad (3)$$

$$\gamma = \cos^{-1} \left(\frac{l_4^2 + l_0^2 - l_1^2}{2l_0 l_4} \right) \quad (4)$$

طبق رابطه (۱) مختصات نقطه $f(x_f, y_f)$ در شرایطی که طول میله، زاویه اتصال و زاویه میله به صورت تصادفی انتخاب می شوند، قابل محاسبه است. در حالی که مقدار زاویه میله ثابت باشد، مسیر حرکت میله کارنده همان مختصات نقطه f است. در رابطه (۳) و (۴)

و اندازه $l_0 = \sqrt{l_1^2 + l_4^2 - 2l_1 l_4 \cos(\theta_1 + \alpha)}$ محور BD می باشد. با توجه به شکل ۱ زاویه بین لنگ و اسبک از روابط (۵) و (۶) قابل محاسبه است.

$$\theta_3 = \pi - \alpha + \gamma + \delta \quad (5)$$

$$\delta = \cos^{-1} \left(\frac{l_0^2 - l_2^2 + l_3^2}{2l_0 l_3} \right) \quad (6)$$

با توجه به روابط (۲) و (۵) زاویه بین محور لنگ و میل رابط DC در هر لحظه با اختیار مقدار تصادفی برای θ_1 قابل محاسبه می باشد. از

به‌علاوه با مشتق‌گیری از روابط (۱۲) و (۱۳) بر حسب زمان شتاب زاویه‌ای نیز محاسبه شد (رابطه (۱۴) و (۱۵)):

$$\alpha_2 = \frac{l_3 \omega_3^2 - l_1 \omega_1^2 \cos(\theta_1 - \theta_3) - l_2 \omega_2^2 \cos(\theta_4 - \theta_3)}{l_2 \sin(\theta_4 - \theta_3)} \quad (14)$$

$$\alpha_3 = \frac{l_2 \omega_2^2 - l_1 \omega_1^2 \cos(\theta_1 - \theta_4) - l_3 \omega_3^2 \cos(\theta_3 - \theta_4)}{l_3 \sin(\theta_3 - \theta_4)} \quad (15)$$

به‌منظور محاسبه گشتاور محرک و نیروهای دینامیکی وارد به سامانه کارنده به‌طور مستقل چرخش پیوندها کنترل شدند. سپس جمع نیروها ($\sum F = ma$) و ممان‌ها ($\sum M = I\alpha$) برای هر پیوند محاسبه گردید. با بسط روابط در مختصات x و y حالت ماتریسی نشان داده‌شده در رابطه (۱۶) حاصل شد.

$$\begin{pmatrix} 0 & 1 & 0 & 1 & 0 & 0 & 0 & 1 & 0 \\ 0 & 0 & 1 & 0 & 1 & 0 & 0 & 0 & 1 \\ 1 & \frac{l_1 \sin(\theta_1)}{2} & \frac{-l_1 \cos(\theta_1)}{2} & \frac{l_2 \sin(\theta_4)}{2} & \frac{-l_2 \cos(\theta_4)}{2} & 0 & 0 & \frac{l_4 \sin(\alpha)}{2} & \frac{-l_4 \cos(\alpha)}{2} \\ 0 & 0 & 0 & -1 & 0 & -1 & 0 & 0 & 0 \\ 0 & 0 & 0 & 0 & -1 & 0 & 1 & 0 & 0 \\ 0 & 0 & 0 & \frac{-l_2 \sin(\theta_4)}{2} & \frac{l_2 \cos(\theta_4)}{2} & \frac{l_3 \sin(\theta_3)}{2} & \frac{-l_3 \cos(\theta_3)}{2} & 0 & 0 \\ 0 & 0 & 0 & 0 & 0 & 1 & 0 & -1 & 0 \\ 0 & 0 & 0 & 0 & 0 & 0 & -1 & 0 & 1 \\ 0 & 0 & 0 & \frac{-l_2 \sin(\theta_4)}{2} & \frac{l_2 \cos(\theta_4)}{2} & 0 & 0 & \frac{-l_4 \sin(\alpha)}{2} & \frac{l_4 \cos(\alpha)}{2} \end{pmatrix} \begin{pmatrix} T \\ F_{i,x} \\ F_{i,y} \\ F_{i,z} \\ F_{i,x} \\ F_{i,y} \\ F_{i,z} \\ F_{i,x} \\ F_{i,y} \end{pmatrix} = \begin{pmatrix} m_1 a_{1,x} + m_4 a_{4,x} \\ m_1 a_{1,y} + m_4 a_{4,y} \\ (I_1 + I_4) \ddot{\theta}_1 \\ m_2 a_{2,x} - F_{c,x} \\ -F_{c,y} + m_2 a_{2,y} \\ I_2 \ddot{\theta}_4 - F_{c,y} \frac{L_f \cos(\psi)}{2} + F_{c,x} \frac{L_f \sin(\psi)}{2} \\ m_3 a_{3,x} + F_{c,x} \\ m_3 a_{3,y} + F_{c,y} \\ I_3 \ddot{\theta}_3 - F_{c,y} \frac{L_f \cos(\psi)}{2} + F_{c,x} \frac{L_f \sin(\psi)}{2} \end{pmatrix} \quad (16)$$

$$\begin{cases} l_2 \max = l_1 + l_3 + l_4 \\ l_2 \max \leq 50 \end{cases} \quad (17)$$

نهایتاً ترکیب‌های مختلف مورد بررسی قرار گرفت و با توجه به محل سینی نشاء و حفره‌های آن بهترین ترکیب طول برای هر یک از اتصالات براساس مسیرهای مختلف حرکتی تعیین شد. به‌علاوه بعد از هر بار عکس‌برداری حرکت‌های مختلف مکانیزم مدل‌سازی‌شده و حرکت بهینه براساس زاویه چرخش سروو موتورها به مکانیزم کارنده منتقل می‌گردد.

ساخت بخش مکانیک ربات کارنده

نمایی از سامانه کارنده در شکل ۲ آمده است. به‌منظور طراحی و تعیین اندازه بازوها همان‌طور که پیش‌تر گفته شد ابتدا مسیر حرکت با ابعاد مختلف به‌دست آمد سپس براساس موقعیت کارنده و محل قرارگیری سینی نشاء بر روی تسمه نقاله، مناسب‌ترین طول تعیین گردید. شایان ذکر است که عرض تسمه نقاله مورد استفاده ۳۵ سانتی‌متر در نظر گرفته شد.

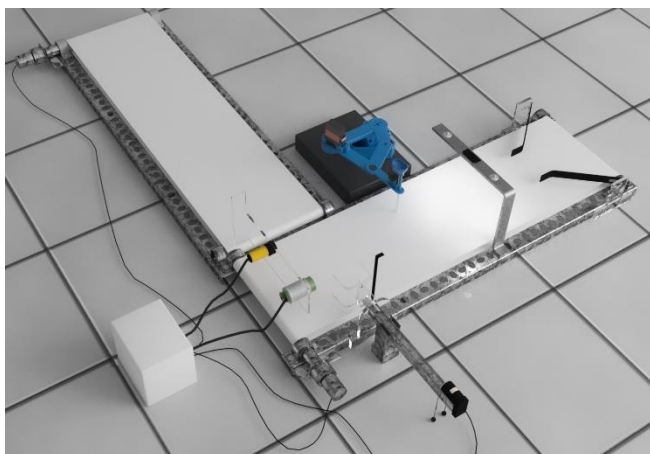
که در این رابطه‌ها اندیس‌های i و i+1 مربوط به مرتبه تکرار می‌باشد. برای حل این معادلات نیاز به مقادیر اولیه θ_2, θ_3 می‌باشد. بدین منظور $\theta_4 = \theta$ و $\theta_3 = \theta + \pi + \delta$ در نظر گرفته شد که مقادیر θ و δ به‌ترتیب از رابطه‌های (۳) و (۶) به‌دست می‌آیند. در هر تکرار مقدار ۱ درجه به مقادیر اضافه می‌شود و مقدار به‌دست‌آمده در هر تکرار به جای زاویه قبل قرار داده می‌شود تا مسیر حرکت کارنده در ۳۶۰ درجه حرکتش به‌دست آید. بعد از تعیین موقعیت بازوها سرعت زاویه‌ای آن‌ها نیز تعیین گردید (رابطه (۱۲) و (۱۳)):

$$\omega_2 = -\omega_1 \frac{l_1 \sin(\theta_1 - \theta_3)}{l_2 \sin(\theta_4 - \theta_3)} \quad (12)$$

$$\omega_3 = \omega_1 \frac{l_1 \sin(\theta_1 - \theta_4)}{l_3 \sin(\theta_3 - \theta_4)} \quad (13)$$

که در این رابطه $T, F_{i,x}, F_{i,y}, F_{i,z}, I_i, m_i, a_{i,x}, a_{i,y}$ به‌ترتیب گشتاور محرک (N-m)، نیروی وارد به میله i ام در راستای x در محل بین (N)، نیروی وارد به میله i ام در راستای y در محل بین (N)، جرم میله i ام (kg)، ممان جرمی میله i ام (kgm^2)، شتاب وارد به میله i ام در راستای x (ms^{-2}) و نیروی وارد به میله i ام در راستای y (ms^{-2})

به‌منظور مدل‌سازی و تعیین مسیر حرکت با توجه به ابعاد سینی نشاء مورد استفاده بدین شکل فرض شد که طول بلندترین اتصال نباید بیشتر از ۵۰ برابر طول کوتاه‌ترین اتصال باشد. شایان ذکر است در این طراحی طول بازوی CF نیز از ۱ تا ۲۵ واحد تغییر می‌نمود. از آن‌جا که نسبت طول اتصال در نحوه حرکت مکانیزم کارنده تاثیرگذار است طول L_1 ، ۱ واحد در نظر گرفته شد و برای طول L_3 و L_4 امکان تغییر در محدوده ۱ تا ۵۰ واحد فراهم گردید. ماکزیمم طول L_2 با توجه به ۲ شرط موجود در رابطه (۱۷) و همچنین تئوری حرکتی گراشف^۱ به‌دست می‌آید (Waldron, Kinzel, & Agrawal, 2016):



(a)



(b)

شکل ۲- سامانه کاشت بذر در سینی نشاء: (a) نمای کامل؛ (b) بازوی کارنده

Fig.2. Seed planting system in the seedling tray: a) Whole system; b) Planting arm

داده‌ها به صورت Wi-Fi و اتصال به موبایل می‌باشد. با توجه به طراحی صورت گرفته، کاربر امکان مشاهده تعداد سینی‌های کاشته شده، میزان انرژی مصرفی و تعداد بذرها کاشته شده را دارد. در این مطالعه از یک منبع تغذیه ۱۲ ولت ۳۰ آمپر برای تامین عنوان ولتاژ ورودی استفاده شد. به منظور کاهش سطح ولتاژ به ۵ و ۳/۳ ولت به ترتیب از MC33269D5 و LP2985 استفاده گردید. در ضمن اندازه‌گیری جریان مصرفی توسط حسگر ACS712 صورت پذیرفت (شکل ۳).

سروو موتورهای مدل MG995 امکان ایجاد دو حداکثر سرعت (۵/۲ و ۵/۵ رادیان بر ثانیه) و گشتاور (۱/۲۷ و ۱/۴۷ نیوتن-متر) با توجه به ولتاژ ورودی (۴/۸ و ۶ ولت) را داشتند. در ضمن طول پالسی (بر حسب میکرو ثانیه) که متناسب آن سروو را به زاویه ۰ و ۱۸۰ هدایت می‌نمود به ترتیب دارای مقدار ۵۴۴ و ۲۴۰۰ بودند. لذا در این پژوهش به منظور جلوگیری از آسیب احتمالی به سرووها و خطای چرخش در دو انتها، ولتاژ کاری ۴/۸ و طول پالس بین ۸۰۰ تا ۲۰۰۰ میکرو ثانیه در نظر گرفته شد. به علاوه سرووها در حالت بدون بار با توجه به ارسال سیگنال فرمان از میکروکنترلر در حلقه تکرار، جریانی در حدود ۱۵۰ میلی‌آمپر مصرف می‌نمودند؛ از این رو به منظور جلوگیری از داغ شدن سرووها و همچنین کاهش مصرف انرژی زمانی که نیازی به عملکرد بازوی کارنده وجود نداشت، اتصال سرووها به صورت نرم‌افزاری قطع می‌گردید.

ارزیابی سامانه کارنده

جهت ارزیابی سامانه کاشت، دو سطح سرعت پیشروی ۵ و ۱۰ سانتی‌متر بر ثانیه در نظر گرفته شد. سرعت‌های ذکر شده حداقل و حداکثر سرعت چرخش موتور DC می‌باشند.

به منظور ساخت قطعات بعد از تعیین ابعاد مورد نظر با توجه به معیارهای طراحی نقشه طراحی استخراج و به پریتر سه‌بعدی به صورت G-Code جهت چاپ ارسال می‌شود. جنس مورد استفاده به منظور ساخت بازوها پلی‌لاکتیک اسید^۱ یا PLA با قطر ۱/۷۵ میلی‌متر ساخت شرکت یوسو در نظر گرفته شد. PLA یک پلیمر انعطاف پذیر و نرم می‌باشد که از منابع تجدیدپذیر مانند نشاسته ذرت و یا نیشکر تولید می‌شود. البته امکان استفاده از جنس ABS نیز وجود داشت اما دمای ذوب پایین فیلامنت PLA نسبت به ABS چاپ قطعات پیچیده را که نیاز به مدت زمان بیشتر دارند آسان تر می‌سازد. طراحی و تهیه نقشه از بخش‌های مختلف سامانه در نرم افزار 3DS MAX صورت پذیرفت.

طراحی مدار الکتریکی و کنترل کننده سامانه کارنده

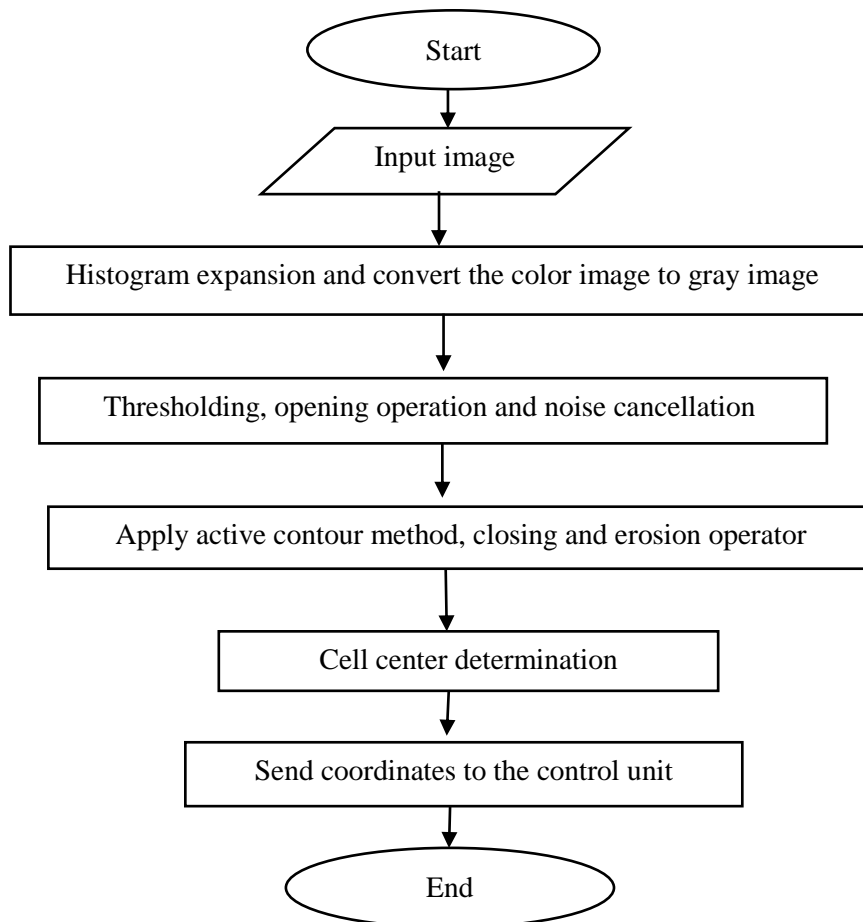
سامانه مورد نظر شامل یک میکروکنترلر ATMEGA32 به منظور انجام عملیات کنترلی، ماژول موتور درایور دو کاناله (مدل L298N، کشور چین) به منظور کنترل موتور DC تسمه نقاله و جک هیدرولیکی هدایت کننده سینی نشاء، سه عدد سروو موتور (دو عدد MG995، یک عدد SG90، کشور چین) برای کنترل بازوی کارنده، از سنسور مجاورتی خازنی (CR30-15AC، کشور چین) و سنسور مادون قرمز (E18-D80NK، کشور چین) به ترتیب به منظور تشخیص قرارگیری سینی در محل مناسب کاشت روی نوار نقاله ورودی و موقعیت بازوی تخلیه کننده، حسگر مجاورتی (مدل VCNL-4000، کشور چین) جهت شمارش تعداد بذرها، حسگر نوری جهت تشخیص پر و خالی بودن مخزن کارنده و ماژول ESP8266 برای ارسال

1- Polylactic Acid

هدایت بازو به محل هر سلول

الگوریتم هدایت بازو کارنده در شکل ۴ نمایش داده شده است. به منظور هدایت بازو به محل کاشت ابتدا یک تصویر از سینی نشاء با استفاده از یک وب کم لاجیتک (مدل C930e، ساخت کشور تایوان) در شرایط نوری ثابت اخذ و به کامپیوتر منتقل می شود. وب کم به صورت عمودی و در فاصله ثابت ۵۰ سانتی متری از محل عکس برداری میان دو عدد ال ای دی ۵۰ وات قرار داشت.

که چگونگی قرارگیری سینی در کاشت بذر برخلاف پژوهش های مشابه (به عنوان مثال پژوهش (Gezavati et al., 2014) با توجه به تعیین مختصات کاشت اهمیتی نداشت. نهایتاً بازوی کارنده به محل های مورد نظر ارسال می شد و عمل کاشت صورت می پذیرفت. در ادامه، حرکت سینی بر روی تسمه نقاله ادامه می یافت تا به محل خروج (یعنی حسگر IR دوم) می رسید؛ در این نقطه سینی نشاء توسط بازوی هیدرولیکی به خارج هدایت می گردید.



شکل ۴- فلوچارت الگوریتم پردازش تصویر و تعیین مختصات مرکز سلول ها

Fig.4. Flowchart of image processing algorithm and determination of cell center coordinates

ناحیه بندی می باشد.

بعد از آستانه گذاری به منظور حذف نویز موجود در تصویر از عملگر گشودگی با آستانه ۱۵ پیکسل مربع استفاده گردید. شایان ذکر است در پژوهش حاضر اعداد آستانه با روش سعی و خطا به دست آمدند. سپس برای اتصال بخش های مختلف هر سلول نشاء، الگوریتم کانتور فعال^۱ بر روی بذرهای^۲ به دست آمده پیاده سازی گردید. روش کانتور فعال پروسه ای است که در آن پیکسل های با دامنه یکسان با

به منظور حذف نویز و بهبود کیفیت تصویر بعد از اعمال فیلتر میانه، هیستوگرام تصویر گسترش می یافت (Nadafzadeh et al., 2018). سپس تصاویر از رنگی به سطح خاکستری تبدیل و با اعمال آستانه (رابطه ۲۲) بخش هایی از خاک درون هر سلول مشخص گردید.

$$i_{new}(x, y) = \begin{cases} 1 & i(x, y) \leq 25 \\ 0 & i(x, y) > 25 \end{cases} \quad (22)$$

که $i(x, y)$ تصویر اصلی و $i_{new}(x, y)$ تصویر باینری حاصل از

1- Active Contour

2- Seed

می‌شود: بخش اول شامل نتایج مربوط به پردازش تصویر؛ بخش دوم شامل نتایج طراحی بازوی کارنده و مسیر حرکت؛ بخش سوم شامل محاسبه انرژی و عملکرد بازو می‌باشد که هر بخش به تفصیل مورد بررسی قرار خواهند گرفت.

تعیین مختصات مرکز سلول‌های سینی نشاء

شکل ۵-ا نمونه‌ای از تصاویر اخذ شده از سینی نشاء توسط سامانه تصویربرداری را نمایش می‌دهد. بعد از اعمال آستانه، اعمال عملگر گشودگی و حذف نویزهای موجود در تصویر، بذره‌های اولیه هر سلول به‌منظور اعمال الگوریتم کانتور فعال و تشخیص سلول سینی نشاء تشکیل می‌شوند (شکل ۵-ب).



(a)



(b)

شکل ۵-ا) نمونه‌ای از تصاویر اخذ شده از سینی نشاء (b) آستانه‌گذاری و تشکیل بذره‌های اولیه در هر سلول

Fig.5. a) Sample image is taken from seedling tray b) Thresholding and formation of primary seeds in each cell

بینایی ماشین کارنده ۱۰۰ درصد به‌دست آمد. درحالی که در پژوهش (Chen et al., 2020) خطای کاشت سامانه توسعه‌داده‌شده به‌صورت متوسط ۱/۵۴ درصد در سرعت ۷۰۰ سینی در ساعت گردید. این مسئله نشان از دقت بالای روش ارائه شده در پژوهش حاضر دارد.

بررسی نتایج مدل‌سازی دینامیکی و حرکتی بازو

دامنه مورد استفاده برای طول اتصالات از ۱/۰۰ تا ۱۰۰/۰۰ سانتی‌متر و برای زاویه اتصال از ۰ تا ۳۶۰ درجه بود و همچنین معیار گراش به‌منظور تعیین قابلیت تحرک اتصال استفاده گردید. تعداد ترکیباتی که شرایط حرکتی گراش و دامنه تغییراتی مورد نظر را ارضا نمودند در دور اول ۸۴ حالت به‌دست آمد؛ که با ۱۰ مقدار برای طول بازوی CF (شکل ۱) و همچنین ۱۰ مقدار برای زاویه قرارگیری آن، تعداد ترکیبات برای ابعاد بازوی کارنده ۸۴۰۰ حالت گردید. سپس آنالیز مکانیزم تا ۴ مرحله به‌صورت پیوسته با ترکیب‌های دیگر ادامه یافت. شایان ذکر است که در این مراحل دقت بررسی‌ها در محدوده تعیین‌شده افزایش یافت و در مراحل بعدی در حد صدم اعشار صورت

یکدیگر گروه‌بندی می‌گردند تا یک ناحیه قطع‌بندی‌شده را شکل بدهند. قطع‌بندی با انتخاب یک مجموعه از نقاط به نام نقاط "بذر" آغاز می‌گردد (هسته اولیه مشخص شده با روش آستانه‌گذاری) و با الحاق نقاط مجاور هر نقطه بذر که دارای مشخصات مشابهی (دامنه مشخصی از سطح تیرگی) با آن ناحیه بذر می‌باشند، رشد ناحیه انجام می‌گردد. سپس با اعمال عملگر بستن و فرسایش ناحیه هر سلول یکنواخت گردید (Nematinia & Abdanan Mehdizadeh, 2018). نهایتاً مختصات مرکز هر سلول تعیین و به واحد کنترل جهت هدایت بازو به نقطه مورد نظر ارسال شد.

نتایج و بحث

در پژوهش حاضر بخش نتایج به سه زیر مجموعه تقسیم

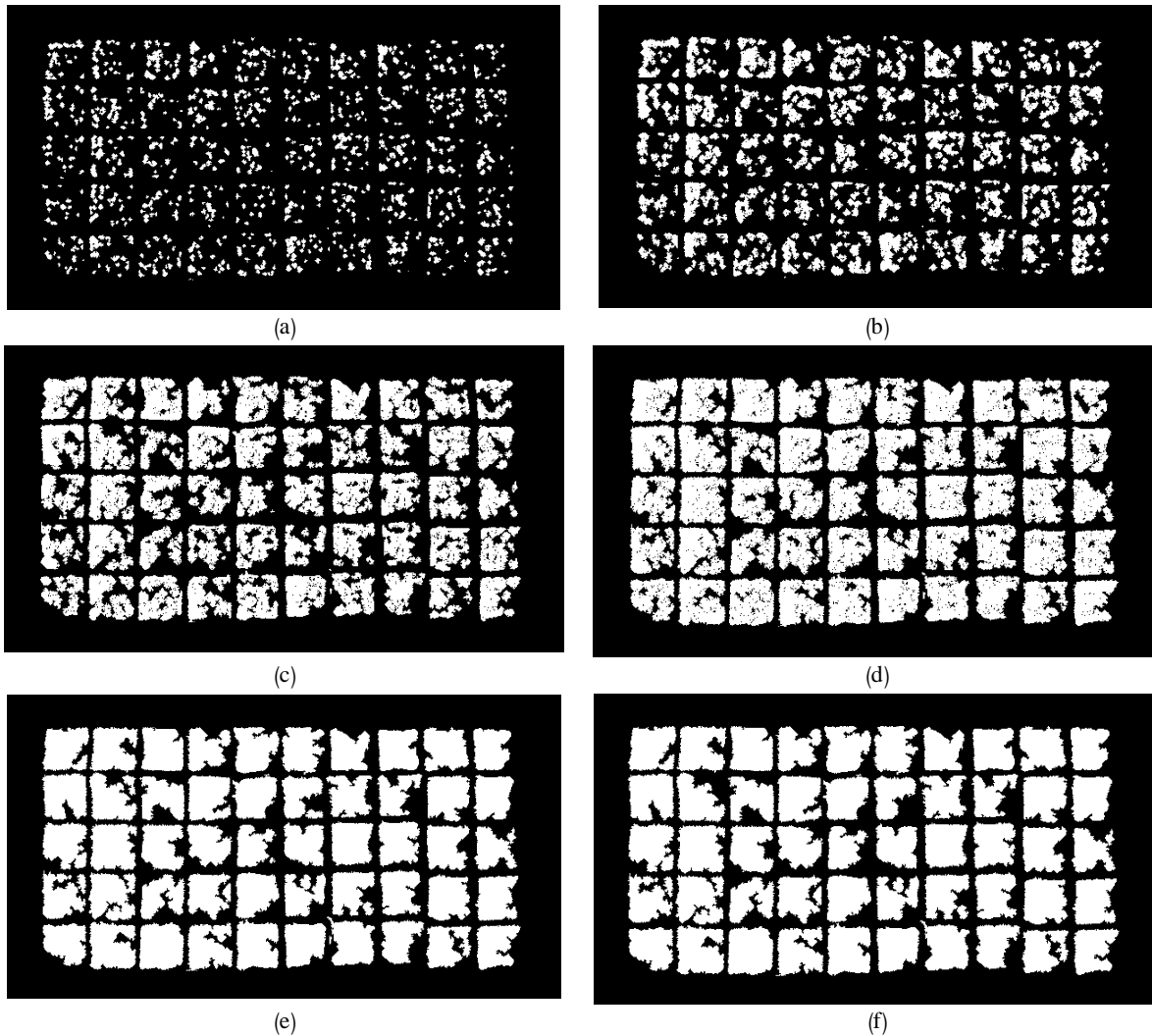
بعد از تعیین بذره‌های اولیه، به‌منظور تعیین سلول‌های سینی نشاء، الگوریتم کانتور فعال بر روی تصاویر، پیاده‌سازی شد و بذره‌های گسسته به یکدیگر متصل گردیدند (شکل ۶-ا تا ۶-د). معیار توقف در این پژوهش ۲۵ تکرار در نظر گرفته شد که با سعی و خطا بهترین حالت به‌دست آمد. سپس با اعمال عملگرهای بستن (شکل ۶-ه)، گشودگی و فرسایش (شکل ۶-ف) سلول‌های موجود در سینی نشاء تعیین شدند. همان‌طور که در شکل ۶-ف مشخص است تمامی سلول‌ها به‌خوبی تعیین شدند و این الگوریتم عملکرد قابل‌قبولی ارائه نمود.

بعد از تشخیص سلول‌ها (شکل ۷-ا) مرز هر ناحیه مشخص شده (شکل ۷-ب) و کوچک‌ترین مستطیلی (خطوط سبز رنگ) که این مرزها را محاط می‌نمود تعیین و پیرامون آن‌ها قرار گرفت. نهایتاً مرکز (ستاره‌های آبی رنگ) هر یک از این مستطیل‌ها (شکل ۷-ج) به‌عنوان مختصات کاشت به برد کنترلی جهت هدایت بازوی کاشت به این مختصات‌ها و کشت بذر در نقاط مورد نظر ارسال گردید.

مطابق نتایج از ۳۰۰۰ سلول مورد بررسی، دقت تشخیص سامانه

مورد ترکیب با توجه به هزینه، ابعاد سینی های نشاء و کمترین حرکت ممکن برای دورترین نقاط انتخاب شدند.

پذیرفت. البته بسیاری از ترکیبات به دست آمده در همان مراحل اولیه در بررسی های بصری مسیر حرکت حذف شدند. نهایتاً همان طور که در جدول ۱ آمده است در مجموع تعداد ۲۳۰۲۱۲ ترکیب بررسی و ۶

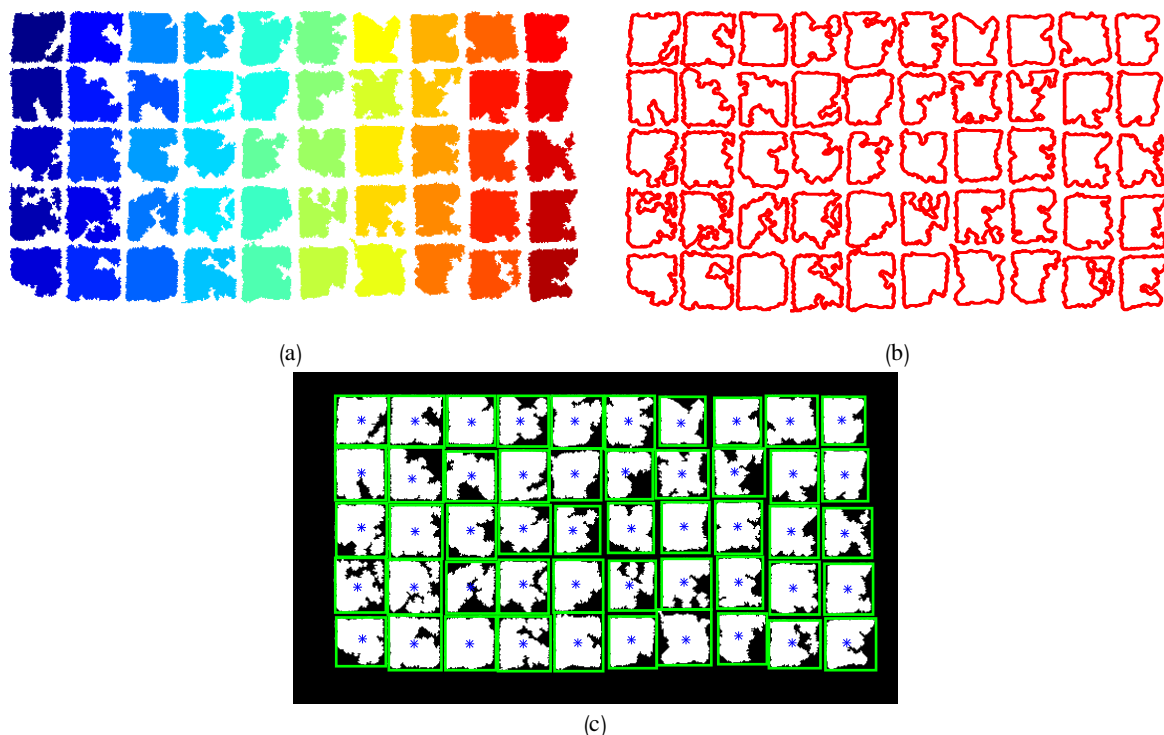


شکل ۶- پیاده سازی الگوریتم کانتور فعال (a) ۱۰ تکرار؛ (b) ۱۵ تکرار؛ (c) ۲۰ تکرار؛ (d) ۲۵ تکرار؛ (e) اعمال عملگر بستن روی تصویر خروجی از قسمت (d)؛ (f) اعمال عملگر گشودگی و فرسایش روی تصویر

Fig.6. Implementation of active contour algorithm a) 10 repetitions; b) 15 repetitions; c) 20 repetitions; d) 25 repetitions; e) apply the closing operator on the output image of part (d); f) Apply the opening and erosion operator on the image

مسیری دوبار طی نشود. مطابق شکل، کارنده در مسیرهای مشخص شده در شکل های (۸-c) تا (۸-f) و زوایای تعیین شده امکان کاشت بذر در سینی نشاء وجود دارد. در ضمن همان طور که گفته شد در این زوایا (یعنی ۳۱۵، ۳۲۰، ۳۳۰ و ۳۴۰ درجه) از مسیری مجدد عبور نکرده و علاوه بر این که انرژی مصرفی کارنده نیز صرفه جویی می گردد، امکان قفل شدن بازو نیز وجود ندارد.

به منظور تعیین زاویه قرارگیری بازوی CF حالت های مختلفی (مطابق با جدول ۱) مورد بررسی قرار گرفتند. البته امکان مدل سازی هر زاویه دلخواهی در روش ارائه شده با هر ترکیب طول بازویی وجود دارد. شکل ۸ نمونه ای از اثر زاویه قرارگیری بازوی CF بر مسیر حرکت کارنده برای ۶ زاویه را نشان می دهد. در این فرآیند، مطلوب ترین حالت زمانی است که هنگام چرخش در یک مسیر، بیشترین پوشش در سلول های سینی نشاء را داشته و در ضمن



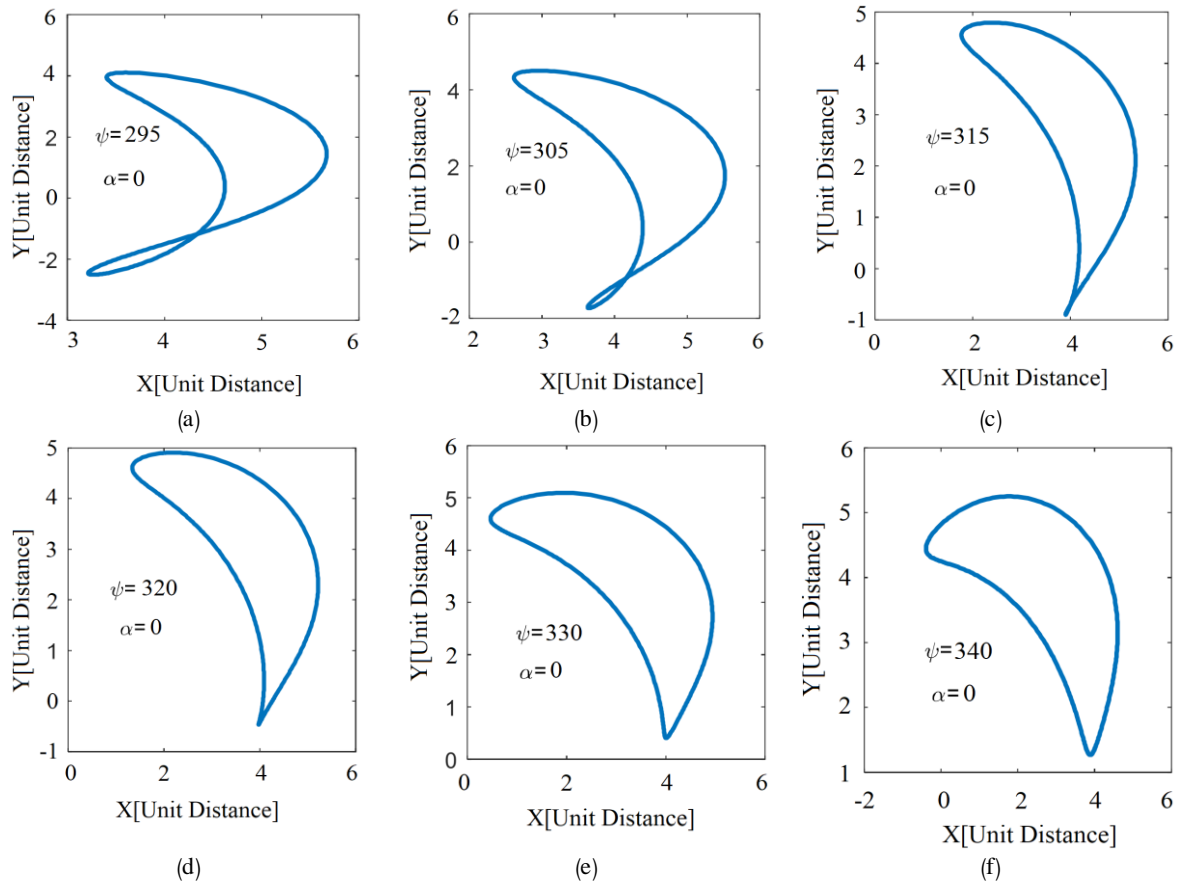
شکل ۷- a) مرز ناحیه‌های مشخص شده در قسمت بخش‌بندی تصویر؛ b) سلول‌های بخش‌بندی شده؛ c) مستطیل‌های محاط شده (خطوط سبز رنگ) و مراکز هر سلول (ستاره‌های آبی رنگ)

Fig.7. a) The boundaries of the areas specified in the image segmentation; b) Segmented cells; c) Enclosed rectangles (green lines) and centers of each cell (blue stars)

جدول ۱- ابعاد اتصالات به منظور بررسی مسیر حرکت (ابعاد طولی بر حسب سانتی‌متر و زاویه بر حسب درجه می‌باشد)

Table 1- Range of the link's dimensions for path analysis (length and angel are based on centimeter and degree, respectively)

مرحله Stage	دامنه تغییرات ابعاد Range of dimensions						تعداد ترکیبات Combination No.
	L_1	L_2	L_3	L_4	L_f	ψ	
1	1-10	1-100	1-50	1-50	1-100	0-360	8400
	1-10	1-19.99	1-8.08	1-8.08	2.18-38.39	180-360	23500
	5-9	21-37.17	1-8.08	2.33-19.90	1-35.71	270-360, 0-120	36592
	5-9	17.11-20.53	1-8.08	8.08-50	18.80-100	300-360, 0-120	12350
2	5-8.81	48.80-57.91	1-8.08	19.90-50	10-100	330-360, 0-120	7640
	5.5-9	3.79-15.93	2.66-16.90	2.66-16.90	1-35.71	240-360, 0-30	45800
	6-9	12.35-20.53	2.66-16.90	8.08-50	3.16-100	30-140	28530
3	6-9	12-18.7	8.08-50	8.08-50	1-21	300-360, 0-120	14900
	5-8.6	13.7-20.1	2.99-4.88	2.99-4.88	12.81-18.8	300-340	7500
4	5-8.6	15.7-20.1	3.21-4.88	3.21-4.88	13.35-17.2	310-330	45000

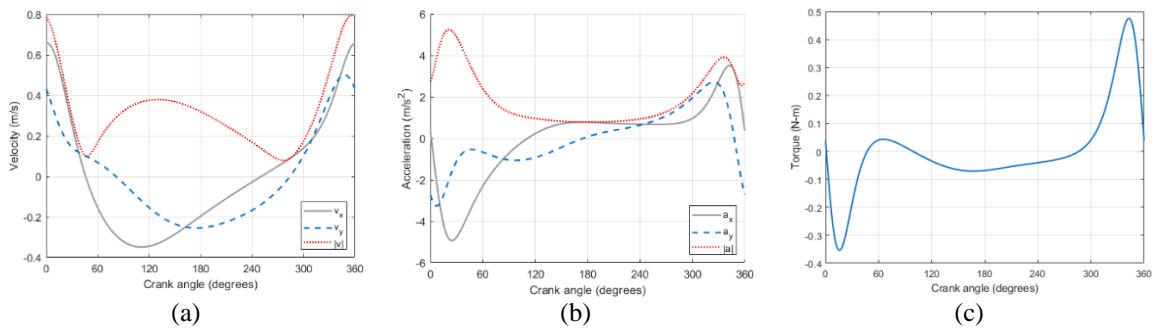


شکل ۸- مدل سازی اثر زاویه قرارگیری بازوی CF بر مسیر حرکت کارنده: زاویه قرارگیری (a) ۲۹۵؛ (b) ۳۰۵؛ (c) ۳۱۵؛ (d) ۳۲۰؛ (e) ۳۳۰؛ (f) ۳۴۰ درجه

Fig.8. Modeling of the effect of CF arm position angle on the driver's travel path: position angle a) 295; b) 305; c) 315; d) 320; e) 330; f) 340 degrees

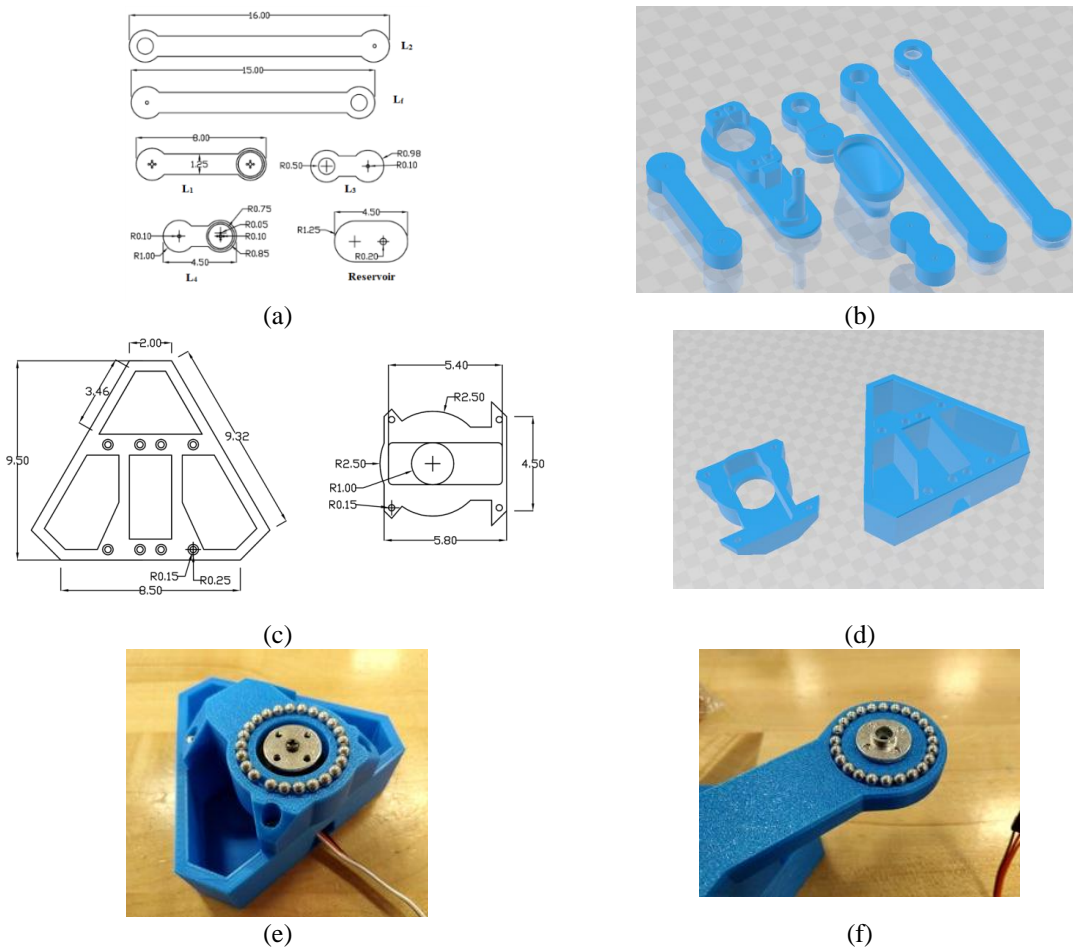
سامانه های دارای جرم، سرعت و شتاب اندک در یک راستا می باشد. شکل ۱۰-a و ۱۰-c نقشه طراحی مورد استفاده در پژوهش حاضر و ۱۰-b و ۱۰-d نقشه ارسال شده به پریتر سه بعدی جهت چاپ قطعات را نشان می دهد. بعد از چاپ قطعات و قرار دادن اجزا اتصال در محل مورد نظر، جرم بازوهای L_1, L_2, L_3, L_4 و L_f به ترتیب ۰/۱۴، ۰/۲۷، ۰/۸۳، ۰/۸۷ و ۰/۲۵ کیلوگرم گردید. در ضمن دو شیار (روی پایه و بازوی چرخنده) به منظور قرار دادن بلبرینگ ایجاد گردید؛ اما به منظور کاهش وزن سامانه از گوی های فلزی با ابعاد ۰/۴۵ میلی متر استفاده شد (شکل ۱۰-e و ۱۰-f). شایان ذکر است که مخزن سامانه کارنده توسط کاربر پر می گردید و در حالت کاملاً پر، در حدود 57 ± 4 عدد بذر را در خود جای می داد. البته امکان تغییر در طراحی و ساخت مخزنی با ابعاد بزرگ تر نیز به راحتی امکان پذیر است.

لذا پس از تعیین مختصات کاشت توسط سامانه بینایی ماشین، تمامی حالت های موجود حرکتی، مورد بررسی قرار گرفته و نهایتاً هدایت بازو با کمترین میزان مصرف انرژی انتخاب می شود. بر این اساس L_1, L_2, L_3, L_4, L_f و L_f و L_4 درجه برای زاویه قرارگیری بازوی CF در نظر گرفته شد. شکل ۹-a تا ۹-c نمودار سرعت، شتاب و گشتاور مکانیزم طراحی شده با ابعاد مورد نظر را نشان می دهد. همان طور که در شکل ۹-b مشاهده می شود در بخش عمده ای حرکت چرخشی سامانه (۶۰- درجه) شتاب حرکتی آن در حدود ۰/۹ متر بر مجذور ثانیه می باشد که نشان از نیروی اندک وارد شده به بازوی کارنده هنگام حرکت چرخشی است. به علاوه بر اساس شکل ۹-c حداکثر گشتاور محرک برای سامانه کارنده ۰/۴۸ نیوتن-متر به دست آمد که با توجه به گشتاور موتور مورد استفاده (۱/۲۷ نیوتن-متر) مشکلی برای سامانه ایجاد نخواهد شد. این یافته با نتایج پژوهش [González Mendoza et al. \(2013\)](#) در خصوص نیاز به گشتاور محرک ناچیز برای



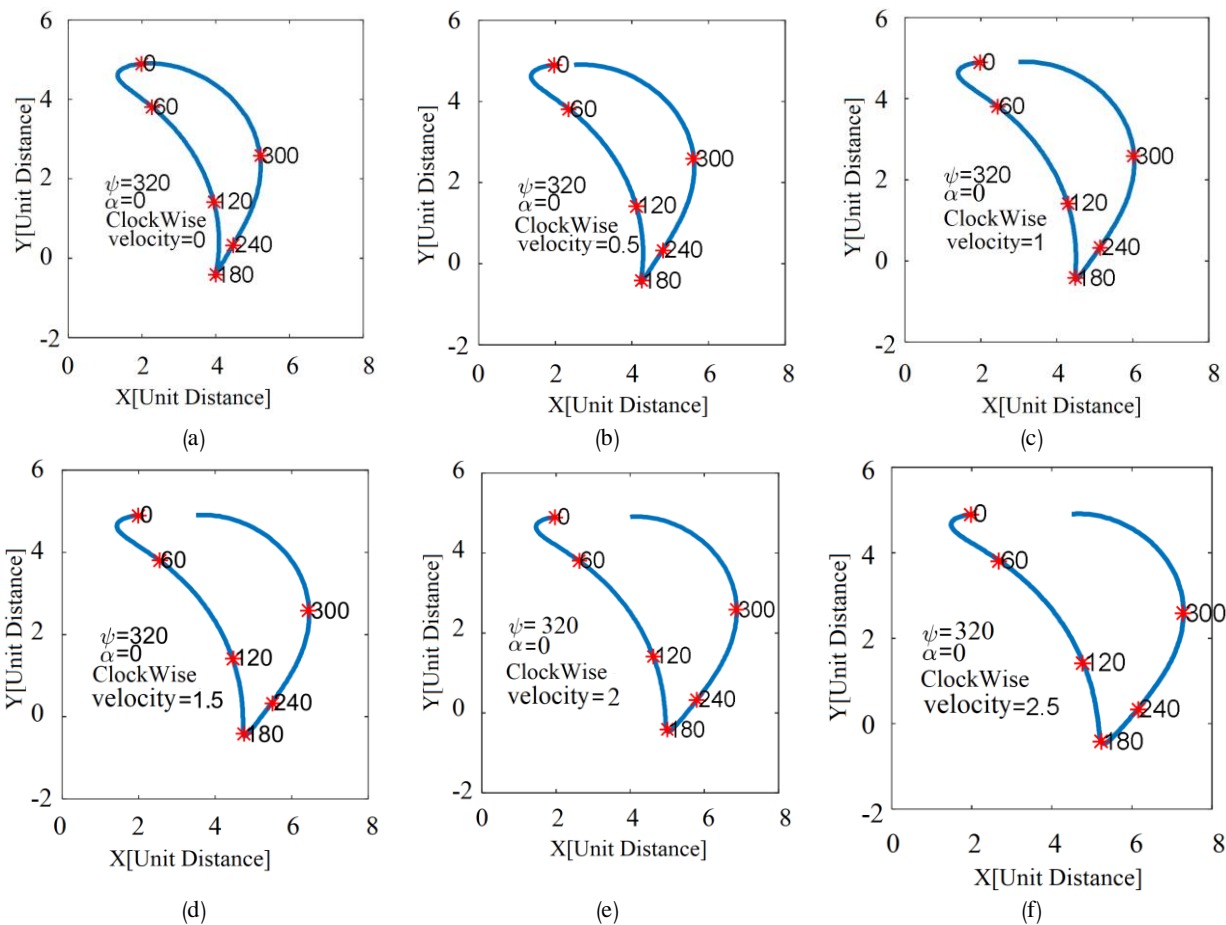
شکل ۹- مدل‌سازی (a) سرعت؛ (b) شتاب؛ (c) گشتاور محرک بازوی کارنده CF

Fig.9. Modeling of CF planter linkage; a) Velocity; b) Acceleration; c) Torque



شکل ۱۰- نقشه اجزای مکانیکی سامانه کارنده؛ (a) نقشه طراحی بازوها و مخزن؛ (b) نقشه stl بازوها و مخزن به منظور ارسال به چاپگر سه‌بعدی؛ (c) نقشه طراحی پایه و نگهدارنده موتور؛ (d) نقشه stl پایه و نگهدارنده موتور؛ (e) محل قرارگیری گوی‌های فلزی در پایه؛ (f) محل قرارگیری گوی‌های فلزی در بازو

Fig.10. Mechanical parts drawing; a) arms and reservoir drawing; b) stl drawing of arms and reservoir for 3D printing; c) base and motor holder; d) stl drawing of base and motor holder for 3D printing; e) ball location in based; f) ball location in arm



شکل ۱۱- مدل سازی اثر سرعت حرکت تسمه نقاله بر قرارگیری بازوی CF: سرعت حرکت تسمه نقاله (a) 0؛ (b) 0.5؛ (c) 1؛ (d) 1.5؛ (e) 2؛ (f) 2.5 واحد بر ثانیه

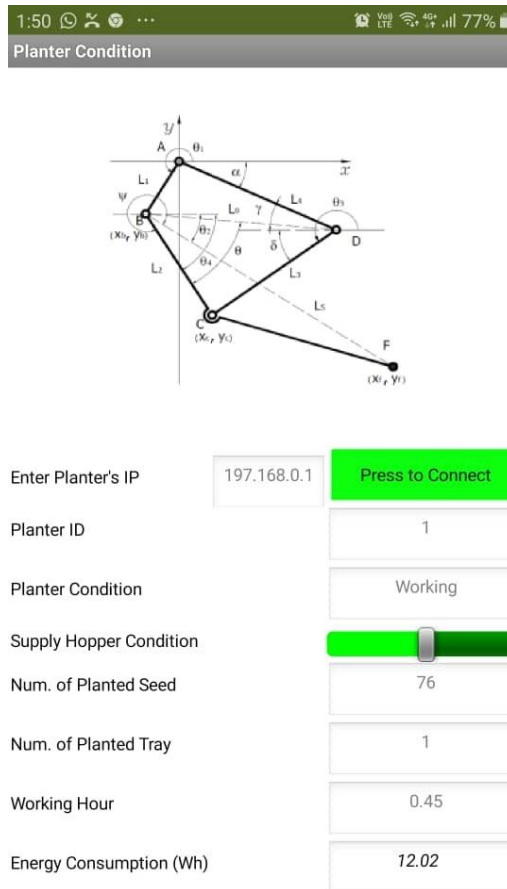
Fig.11. Modeling of the effect of conveyor belt speed on CF arm position: conveyor belt speed a) 0; b) 0.5; c) 1; d) 1.5; e) 2; f) 2.5 unit per second

تصویربرداری، وابسته به نحوه قرارگیری (دوری و نزدیکی به کارنده) بین ۳۳-۴۶ ثانیه شد که این عدد برای یک فرد در سه تکرار 2 ± 24 ثانیه گردید. لذا ظرفیت کاشت سامانه کارنده در سرعت ۵ و ۱۰ سانتی متر بر ثانیه (به صورت متوسط در ۶ ساعت) به ترتیب ۲۰۵۸ و ۲۹۶۳ سلول در ساعت بود. در ضمن میزان انرژی مصرفی ۲۵/۵۶ وات ساعت و انرژی مصرفی برای کاشت یک بذر به طور متوسط ۰/۵۳ وات ساعت به دست آمد. در پژوهشی شاخص های نکاشت و چندگانه کاشت برای کارنده نیوماتیکی یونیسیم و بذر سورگوم به ترتیب ۳/۱۷ و ۶/۳۴ درصد به دست آمد. انرژی مصرفی دستگاه فوق الذکر برای کاشت یک مسیر ۳۰ متری برای یک ردیف کارنده ۲۵۹۰ وات ساعت گزارش گردید؛ این مقدار از انرژی در حدود ۵۹ وات ساعت برای یک عدد بذر در این مسیر کاشت می باشد (Abdolhazare & Abdanan, 2018b). شکل ۱۲ صفحه نرم افزار توسعه یافته برای تلفن همراه هوشمند به منظور پایش شرایط کارنده را نمایش می دهد.

به علاوه در مدل سازی صورت گرفته در نرم افزار MatLab 2021 امکان اعمال سرعت حرکت تسمه نقاله و بررسی اثر آن در مسیر کاشت نیز وجود دارد. این بدین معنی است که دستگاه هم امکان کاشت به صورت پیوسته و هم به صورت توقف/حرکت را دارد. شکل ۱۱ اثر سرعت های مختلف (۰، ۰/۵، ۱، ۱/۵، ۲ و ۲/۵ واحد بر ثانیه) حرکت تسمه نقاله را بر موقعیت بازو کارنده نمایش می دهد.

ارزیابی بازوی کارنده

به منظور ارزیابی عملکرد سامانه تسمه نقاله، با ۲ سرعت ثابت ۵ و ۱۰ سانتی متر در ثانیه، سینی را به محل کاشت هدایت می نمود. در این مرحله از تعداد ۳۰۰۰ سلول مورد بررسی، شاخص های نکاشت و چندگانه کاشت به ترتیب ۰/۰۳ و ۸/۱۷ درصد به دست آمد. در ضمن متوسط زمان کاشت یک سینی ۵۰ سلولی بعد از قرارگیری در محل



شکل ۱۲- صفحه نرم‌افزار توسعه‌یافته برای تلفن هوشمند به منظور پایش شرایط کارنده
 Fig.12. Software page developed for smartphones to monitor the planter's condition

می‌بایست تغییر کند؛ حال آن‌که سامانه کارنده در پژوهش حاضر با توجه به تشخیص محل کشت به وسیله سامانه بینایی ماشین به محل قرارگیری و ابعاد سینی نشاء وابسته نمی‌باشد.

نتیجه‌گیری

در پژوهش حاضر یک سامانه کاشت بذر در سینی نشاء براساس مدل‌سازی دینامیکی طراحی، ساخته و ارزیابی گردید. در سامانه توسعه‌یافته تشخیص محل کاشت به وسیله پردازش تصویر صورت پذیرفت. به‌منظور ارزیابی سامانه کاشت دو سطح سرعت برای تمسه نقاله ۵ و ۱۰ سانتی‌متر بر ثانیه در نظر گرفته شد که ظرفیت این بذرکار به ترتیب ۳۵۷۹ تا ۴۶۱۳ سلول در ساعت به‌دست آمد. از طرف دیگر، شاخص‌های نکاشت و چندگانه کاشت در ۳۰۰۰ سلول نیز به ترتیب ۰/۰۳ و ۸/۱۷ درصد گردید که نشان از عملکرد قابل‌قبول این سامانه دارد. در ضمن میزان انرژی مصرفی ۲۵/۵۶ وات‌ساعت، سامانه را به جایگزینی مناسب برای بذرکاری دستی تبدیل می‌نماید.

نحوه عملکرد نرم‌افزار به این صورت است که ابتدا کاربر، آی‌پی مربوط به سامانه کارنده را وارد نموده و کلید اتصال را لمس می‌کند. به محض اتصال رنگ کلید سبز شده و شماره کارنده^۱ نمایش داده می‌شود. این قسمت زمانی کاربرد دارد که تعداد زیادی کارنده وجود داشته باشد. از جمله اطلاعات دیگری که در برنامه گوشی هوشمند نمایش داده می‌شود وضعیت کاری کارنده، تعداد سینی‌ها و بذرهای کاشته شده، پر و خالی بودن مخزن کارنده، ساعات کاری و میزان انرژی مصرفی است.

در پژوهشی به طراحی و ساخت یک ربات بذرکار دقیق برای سینی‌های کاشت پرداخته شد. در این پژوهش ظرفیت نامی این بذرکار بین ۱۷۰۰۰ تا ۳۵۰۰۰ سلول در ساعت گزارش گردید (Gezavati et al., 2014). این در حالی است که سامانه طراحی شده در این تحقیق به ابعاد سینی نشاء و چگونگی قرارگیری آن‌ها وابسته بود و در صورتی که نوع سینی نشاء تغییر کند سامانه کاشت نیز

1- Planter ID

سیاسگزاری

بدین‌وسیله نویسنده از حمایت مالی دانشگاه علوم کشاورزی و منابع طبیعی خوزستان قدردانی می‌نماید.

از دیگر مزایای این سامانه امکان پایش پارامترهای آن توسط کاربر و از طریق نرم‌افزار طراحی شده برای گوشی هوشمند است. از جمله اطلاعاتی که در برنامه گوشی هوشمند نمایش داده می‌شود وضعیت کاری کارنده، تعداد سینی‌ها و بذرهای کاشته شده، پر و خالی بودن مخزن کارنده، ساعات کاری و میزان انرژی مصرفی است.

References

1. Abdolhazare, Z., & Abdanan Mehdizadeh, S. (2018a). Real time laboratory and field monitoring of the effect of the operational parameters on seed falling speed and trajectory of pneumatic planter. *Computers and Electronics in Agriculture*, 145, 187-198. <https://doi.org/10.1016/j.compag.2018.01.001>
2. Abdolhazare, Z., & Abdanan Mehdizadeh, S. (2018b). Nonlinear mathematical modeling of seed spacing uniformity of a pneumatic planter using genetic programming and image processing. *Neural Computing and Applications*, 29(2), 363-375. <https://doi.org/10.1007/s00521-016-2450-1>
3. Anonymous. (2007). Allegro MicroSystems, Fully Integrated, Hall Effect-Based Linear Current Sensor, ACS712 datasheet.
4. Biancardi, E., McGrath, J. M., William Panella, L., Lewellen, R.T. & Stevanato, P. (2010). *Sugar Beet*, Springer Publishers, NY. pp. 173-219. https://doi.org/10.1007/978-0-387-92765-7_6
5. Cao, J. (2019). Current situation and countermeasures of vegetable industry. *Seed Science and Technology*, 37(3), 18-21.
6. Chapra, S. C. (2012). *Applied numerical methods with MATLAB for engineers and scientists*, McGraw-Hill Publishers, NY., pp. 100-112.
7. Chen, L., Ma, X., Wang, C., Li, H., Li, Z., Chen, X., & Chen, T. (2020). Design and test of soft-pot-tray automatic embedding system for light-economical pot seedling nursery machine. *International Journal of Agricultural and Biological Engineering*, 13(1), 91-100. <https://doi.org/10.25165/j.ijabe.20201301.4726>
8. Food and Agriculture Organization (FAO). (2018). Retrieved from: <http://www.fao.org/faostat/en/#data/QC>
9. Gaikwad, B. B., & Sirohi, N.P.S. (2008). Design of a low-cost pneumatic seeder for nursery plug trays. *Biosystems Engineering*, 99(3), 322-329. <https://doi.org/10.1016/j.biosystemseng.2007.10.017>
10. Gezavati, J., Mohammad Zamani, D., Abbasgolipour, M., Mohammadi Alasti, B., & Ranji, A. (2014). Preliminary design, construction and evaluation of robot of tomato seed planting for the trays of greenhouse. *Journal of Agricultural Machinery*, 5(2), 242-250. (in Persian). <https://doi.org/10.22067/jam.v5i2.28257>
11. González Mendoza, J. M., Palacios Montufar, C., & Flores Campos, J. A. (2013). Analytical synthesis for four-bar mechanisms used in a pseudo-equatorial solar tracker. *Ingeniería e Investigación*, 33(3), 55-60. <https://doi.org/10.15446/ing.investig.v33n3.41045>
12. Jin, X., Yuan, Y., Ji, J., Zhao, K., Li, M., & Chen, K. (2020). Design and implementation of anti-leakage planting system for transplanting machine based on fuzzy information. *Computers and Electronics in Agriculture*, 169, 105204. <https://doi.org/10.1016/j.compag.2019.105204>
13. Keyvanlo, A. L., & Armin, M. (2017). The effect of seedlings age and date of transfer on quantitative and qualitative characteristics of sugar beet. *Iranian Journal of Field Crop Science*, 48(1), 291-301. <https://doi.org/10.22059/ijfcs.2017.131207.653935>
14. Li-zhang, X. U., & Yao-ming, L. I. (2007). Design and simulation of the forest trees potter. *Journal of Machinery Design & Manufacture*, 3(2), 24-25.
15. Nadafzadeh, M., Abdanan Mehdizadeh, S., & Soltanikazemi, M. (2018). Development of computer vision system to predict peroxidase and polyphenol oxidase enzymes to evaluate the process of banana peel browning using genetic programming modeling. *Scientia Horticulturae*, 231(5), 201-209. <https://doi.org/10.1016/j.scienta.2017.12.047>
16. Nasri, R., Kashani, A., Sadeghian Motahar, Y., & Habibi, D. (2011). Quantitative and qualitative characteristics of fall sugar beet in direct cultivation and paper pot transplanting under saline soils of Ahvaz. *Agronomy and Plant Breeding Journal*, 7(7), 25-40. (In Persian).
17. Nematina, E., & Mehdizadeh, S. A. (2018). Assessment of egg freshness by prediction of Haugh unit and albumen pH using an artificial neural network. *Journal of Food Measurement and Characterization*, 12(3), 1449-1459. <https://doi.org/10.1007/s11694-018-9760-1>
18. Rosli, M. F. M., Mahadi, M. R., Misri, M. A., & Wayayok, A. (2016). Initial design of an automated system for paddy seedling placement in a germination tray. *Journal Technology*, 78(1-2): 119-123. <https://doi.org/10.11113/jt.v78.7283>
19. Si, H. P., Sun, L., Jie, C., Wu, J. H., & Lin, K. Y. (2013). Summary of the developing status of greenhouse tray seeder and seed metering device. *In Applied Mechanics and Materials*, 387(8), 271-279.

- <https://doi.org/10.4028/www.scientific.net/AMM.387.271>
20. Tian, L., Xing, P. G., & Zhang, L. (2017). Design of automatic transplant device for hole disc seedlings based on PLC and photoelectric sensing control. *Journal of Agriculture Machinery Research*, 39(7), 125-129.
 21. Waldron, K. J., Kinzel, G. L., & Agrawal, S. K. (2016). *Kinematics, dynamics, and design of machinery*. John Wiley & Sons Publishers. pp. 80-92. <https://worldcat.org/en/title/930875622>
 22. Wang, J., Fu, Z., Zhang, B., Yang, F., Zhang, L., & Shi, B. (2018). Decomposition of influencing factors and its spatial-temporal characteristics of vegetable production: A case study of China. *Information Processing in Agriculture*, 5(4), 477-489. <https://doi.org/10.1016/j.inpa.2018.06.004>
 23. Wang, X., & Feng, Q. C. (2013). Design and Simulation for Key Components of Robotic Flower-Seedling Transplanter. *Advanced Materials Research*, 680(11), 387-391. <https://doi.org/10.4028/www.scientific.net/AMR.680.387>
 24. Yun, Zh., Xiong, Zh., Weiwei, Z., & Li, D. (2011). Modern design theory and method of rice transplanter. *Transactions of the Chinese Society for Agricultural Machinery*, 3(2), 013.
 25. Yang, Q., Huang, G., Shi, X., He, M., Ahmad, I., Zhao, X., & Addy, M. (2020). Design of a control system for a mini-automatic transplanting machine of plug seedling. *Computers and Electronics in Agriculture*, 169, 105226. <https://doi.org/10.1016/j.compag.2020.105226>
 26. Yang2018, Q., Xu, L., Shi, X., Ibrar, A., Mao, H., Hu, J., & Han, L. (2018). Design of seedlings separation device with reciprocating movement seedling cups and its controlling system of the full-automatic plug seedling transplanter. *Computers and Electronics in Agriculture*, 147, 131-145. <https://doi.org/10.1016/j.compag.2018.02.004>